Aplicação da Transformada Wavelet Complexa Dual-Tree na Detecção de Sincronização de Fase entre Sistemas Caóticos de Lorenz

Maria Teodora Ferreira

Programa de Pós-Graduação em Computação Aplicada - CAP - INPE 12227-010, São José dos Campos, SP E-mail: mteodoraf25@gmail.com,

Rosângela Follmann

Departamento de Engenharia de Telecomunicações e Controle Escola Politécnica da Universidade de São Paulo, São Paulo, SP E-mail: rosangelafollmann@gmail.com,

Margarete O. Domingues, Elbert E. N. Macau,

Laboratório Associado de Computação - LAC - INPE, 12227-010, São José dos Campos, SP

 $\hbox{E-mail: margarete@lac.inpe.br.} \quad \hbox{elbert@lac.inpe.br.}$

Resumo: Sincronização de fase em sistemas caóticos não idênticos acoplados ocorre devido a presença de um acoplamento fraco entre os sistemas e resulta em um travamento na fase enquanto suas amplitudes permanecem caóticas e não correlacionadas. Para identificar este fenômeno dado um sinal é necessário medir corretamente a sua fase. No entanto, se o sinal tem um espectro de banda larga, que é típico de sinais caóticos, a medição da fase pode ser um desafio. Neste trabalho, aplica-se uma nova metodologia para calcular a fase de dois sistemas caóticos de Lorenz acoplados. Este método baseia-se na Transformada Wavelet Complexa Dual-Tree, que é uma forma de transformada wavelet discreta que gera coeficientes complexos usando uma dupla árvore de filtros para obter as suas partes real e imaginária. A abordagem proposta é robusta e computacionalmente eficiente. Além disso, mostra a flexibilidade e é, em princípio, aplicável a qualquer série experimental, o que a metodologia tradicional não permite.

Palavras-chave: Fase, Sincronização de Fase, Análise de Séries Temporais

1 Introdução

A sincronização é o processo em que dois ou mais sistemas interagem entre si e alteram seus ritmos de modo a adquirirem uma dinâmica comum.

Nas últimas décadas, progressos consideráveis tem sido feitos no sentido de generalizar o conceito de sincronização permitindo incluir o caso de sistemas dinâmicos caóticos [1, 10, 12]. Neste trabalho nosso interesse é a sincronização de fase, a qual ocorre em sistemas fracamente acoplados e resulta em um travamento na fase, enquanto suas amplitudes permanecem não correlacionadas.

Para estudar a sincronização de fase entre sistemas caóticos é necessário uma definição clara e não ambígua de fase para que se possa testar a condição $\Delta\phi(t) = |\phi_1(t) - \phi_2(t)| < const < 2\pi$, em que $\phi_1(t)$ e $\phi_2(t)$ são as fases dos sistemas 1 e 2.

Devido a necessidade de se obter a fase dos sistemas, vários métodos foram propostos sendo que a maioria deles tem como entrada a projeção do atrator sobre uma superfície de seção adequada: transformada de Hilbert, superfície de seção de Poincaré [13], curvatura e plots de recorrência [8, 13], conjuntos localizados [11], um método com base na análise dos mínimos

Anais do Congresso de Matemática Aplicada e Computacional CMAC Sudeste 2013

quadrados [3], transformada de Fourier de tempo curto e a transformada wavelet complexa contínua [4, 5, 6, 7]. No entanto, nenhum destes métodos funciona adequadamente para todas as situações. Em particular, as metodologias que utilizam transformada wavelet complexa contínua baseiam-se na wavelet complexa de Morlet para obter a fase de uma série caótica, rendendo bons resultados para os sistemas coerentes [5, 7]. No entanto, esta abordagem implica um alto custo computacional e os resultados podem não ser facilmente aplicáveis, devido à sua redundância quando aplicado a séries temporais com grandes número de pontos, como as de interesse.

A Transformada Wavelet (TW) é uma transformada linear que pode ser utilizada na análise de sinais não estacionários para extrair informações das variações em frequência desses sinais ao longo do tempo e para detectar suas estruturas temporalmente e/ou espacialmente localizadas [9]. Em teoria, existem duas formas de TW, uma forma contínua e outra discreta. Quando os parâmetros de escala a e translação b são contínuos, tem-se a chamada Transformada Wavelet Contínua (CWT), a qual transforma um sinal unidimensional (tempo) em uma representação bidimensional (tempo, escala) que pode ser altamente redundante. A fim de se obter uma descrição mais eficiente para a TW, a Transformada Wavelet Discreta (DWT) foi introduzida, na qual os valores dos parâmetros a e b são discretizados. A sigla CWT é utilizada em dois contextos diferentes na teoria wavelet. Um deles é a Transformada Wavelet Contínua a qual já foi utilizada em trabalhos anteriores para calcular a fase de sistemas caóticos e para avaliar sincronização de fase entre sistemas de Rössler acoplados [4, 5, 6, 7]. A outra é a Transformada Wavelet Complexa Dual-Tree, a qual é um reforço relativamente recente para a DWT, com importantes propriedades adicionais como quase invariância a deslocamentos e seletividade direcional em duas e mais dimensões, além de algoritmos rápidos [14].

2 Metodologia

Neste trabalho, considera-se a aplicabilidade de nosso método descrito em [2] às séries temporais geradas pelos sistemas de Lorenz acoplados.

Sistema de Lorenz

Sejam dois sistemas não idênticos de Lorenz em evolução caótica, acoplados bidirecionalmente por meio de suas variávies x, conforme descrito na equação 1. Para simular esses sistemas, usou-se o método Runge-Kutta de quarta ordem com passo de integração igual a 0.001. A série temporal apresenta 2^{23} número de pontos.

O sistema de Lorenz estudado é dado por meio das seguintes equações

$$\dot{x}_{1,2} = 10 (y_{1,2} - x_{1,2}) + \eta (x_{2,1} - x_{1,2})
\dot{y}_{1,2} = 28 x_{1,2} - y_{1,2} - z_{1,2} x_{1,2}
\dot{z}_{1,2} = \omega_{1,2} (x_{1,2} y_{1,2} - \frac{8}{3} z_{1,2})$$
(1)

onde $\omega_1=0,9831$ e $\omega_2=1,018$ introduzem uma pequena diferença entre os dois sistemas, tornando-os não idênticos, e η é a intensidade de acoplamento.

Neste trabalho, foram considerados três forças de acoplamento. Um acoplamento fraco entre os dois sistemas, ou seja, $\eta=0.4$; um acoplamento médio de $\eta=4.2$ e um acoplamento forte de $\eta=6$.

Método Tradicional do Cálculo da Fase

Um método usual para o cálculo da fase considera a simetria nas equações de Lorenz e o atrator é projetado sobre um novo plano (u, z), com $u = \sqrt{x^2 + y^2}$. A fase é então definida pelo ângulo $\phi = \arctan\left(\frac{z(t)-z_0}{u(t)-u_0}\right)$, em que $u_0 = 12$ e $z_0 = 27$ são introduzidos de forma a transladar os eixos de referência para o centro do atrator [12]. Note que, neste método, são necessários os valores de $x \in y$.

Transformada Wavelet Complexa Dual-Tree (DT-CWT)

Matematicamente, qualquer sinal de energia finita x(t) pode ser decomposto em termos de funções base. Neste estudo em multiescala as funções base são as funções escala $\phi_{j,n}(t)$ e funções wavelets $\psi_{j,n}(t)$ via a seguinte expansão

$$x(t) = \sum_{n \in Z} c(j, n) \ \phi_{j,n}(t) + \sum_{j,n \in Z} d(j, n) \ \psi_{j,n}(t), \tag{2}$$

em que c(j,n) são os coeficientes de escala $c(j,n) = \langle x,\phi_{j,n}\rangle$, e d(j,n) são os coeficientes wavelet $d(j,n) = \langle x,\psi_{j,n}\rangle$, em que $\langle .,.\rangle$ indica o produto interno. Existem formas práticas de se calcular os coeficientes c(j,n) e d(j,n). A forma mais utilizada, a qual otimiza a eficiência no cálculo utilizando-se de banco de filtros organizados num esquema piramidal e que leva também a uma representação em multiresolução do sinal foi proposta por Mallat [9].

Tradicionalmente, a DWT apresenta quatro deficiências fundamentais, as quais são: oscilações, variância a deslocamentos, aliasing e falta de direcionalidade [14]. Em [14] foi proposto uma possível solução para sanar essas deficiências da DWT com o uso de funções wavelets complexas $\psi_c(t) = \psi_h(t) + i \ \psi_g(t)$, em que $\psi_h(t)$ denota a parte real e $\psi_g(t)$ a parte imaginária. A DT-CWT utiliza-se de duas DWT's reais, a primeira DWT (banco de filtro superior ou árvore superior) é composta por filtros passa-baixa $h_0(n)$ e passa-alta $h_1(n)$, enquanto que a segunda DWT (banco de filtro inferior ou árvore inferior) é composta de filtros passa-baixa $g_0(n)$ e passa-alta $g_1(n)$. Cada DWT é composta por dois diferentes conjuntos de filtros, com cada um satisfazendo as condições de reconstrução perfeita (PR) e construídos conjuntamente de modo que a transformada global seja aproximadamente analítica. Considerando um sinal real x(n), obtem-se como saída da primeira DWT a parte real $\psi_h(t)$ e $d_h(j,n)$ da wavelet complexa e do coeficiente wavelet complexo, respectivamente. Na segunda DWT tem-se como saída a parte imaginária $\psi_g(t)$ e $d_g(j,n)$ da wavelet complexa e do coeficiente wavelet complexo, respectivamente. Assim, tem-se a wavelet complexa $\psi_c(t)$ e o coeficiente wavelet complexo, respectivamente. Assim, tem-se a wavelet complexa $\psi_c(t)$ e o coeficiente wavelet complexo, respectivamente. Assim, tem-se a wavelet complexa $\psi_c(t)$ e o coeficiente wavelet complexo, respectivamente.

$$\psi_c(t) = \psi_h(t) + i \,\psi_o(t) \tag{3}$$

$$d_c(j,n) = d_h(j,n) + i \ d_q(j,n). \tag{4}$$

A Figura 1 mostra uma representação esquemática da decomposição do sinal real x(n) em três escalas (j = 1, 2, 3) utilizando-se a DT-CWT. Na representação a notação $\downarrow 2$ representa a decimação do sinal por dois, isto é, a remoção de um ponto a cada dois.

Figura 1: Representação esquemática da decomposição do sinal real x(n) em três escalas (j = 1, 2, 3), utilizando-se da DT-CWT.

A fim de satisfazer as condições de reconstrução perfeita do sinal, os filtros são construídos de modo que a wavelet complexa $\psi_c(t)$ seja aproximadamente analítica, ou seja, de modo que $\psi_g(t)$ é aproximadamente um par de transformada de Hilbert de $\psi_h(t)$, denotada como $\psi_g(t) \approx H\{\psi_h(t)\}$ [14]. Neste trabalho, na primeira escala de decomposição foi utilizado (13,19) tap-filtros que são bi-ortogonais e quase simétricos. Para escalas j > 1, foram utilizados os filtros q-shift com (14,14) tap-filtros [14]. Note que o primeiro nível de decomposição utiliza uma

família wavelets diferente da usada nos demais níveis, a fim de obter que a DT-CWT seja aproximadamente analítica para cada nível [14].

Método Proposto do Cálculo da Fase

A fim de calcular a fase de um sistema caótico usando a abordagem da DT-CWT, a série para a variável x do sistema 1, isto é, $x_1(n)$, é decomposta pela transformada DT-CWT. A partir desta análise obtem-se os coeficientes wavelet complexos $d_c(j,n)$ em cada escala j. Depois de obter estes coeficientes, a energia E(j,n) é calculada como o quadrado do módulo dos coeficientes wavelet complexos, isto é, $E(j,n) = |d_c(j,n)|^2$. A energia máxima $\max_j E(j,n) = E(J,n)$ é, então, encontrada a fim de localizar a escala J na qual o sinal decomposto tem sua energia máxima. A escala J associada a máxima energia é usada para calcular a fase $\phi(J,n) = \arctan\left(\frac{d_g(J,n)}{d_h(J,n)}\right)$ associada a um tempo específico, no caso geral J = J(t) (veja Figura 2(a)). Subsequentemente, o mesmo procedimento é aplicado para a série da variável x do sistema 2, isto é, $x_2(n)$. Então calcula-se a fase de cada sistema, $\phi_1(J,n)$ e $\phi_2(J,n)$. Em seguida, a diferença de fase entre os sistemas é calculada como $\Delta\phi(J,n) = \phi_1(J,n) - \phi_2(J,n)$ a qual permite avaliar se a condição de sincronização de fase é satisfeita ou não (veja Figura 2(b)).

A Figura 2(a) mostra um esquema do método proposto para calcular a fase de um sistema caótico usando a abordagem da DT-CWT. A Figura 2(b) mostra um esquema da aplicação do método em duas séries $x_1(n)$ e $x_2(n)$, a qual são as séries na variável x do sistema 1 e 2, respectivamente.

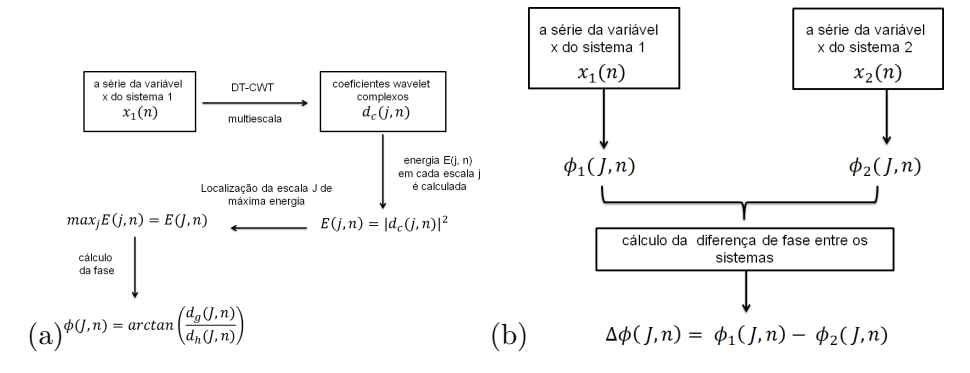


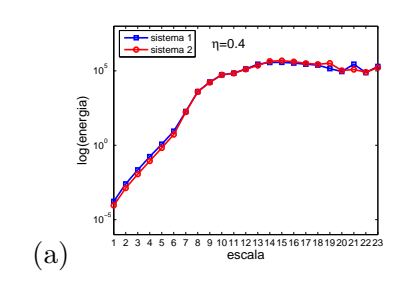
Figura 2: Esquema do método proposto em (a) para calcular a fase usando a variável x de um sistema caótico e (b) da aplicação do método nas séries x_1 e x_2 .

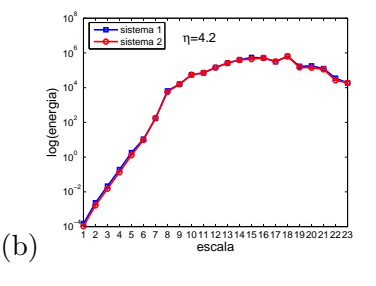
3 Resultados

Neste estudo, a série da variável x de cada sistema de Lorenz com 2^{23} pontos foi utilizada para o cálculo da fase. Como tem-se 2^{23} pontos na série temporal, fez-se a decomposição do mesmo em 23 escalas.

A Figura 3 mostra a energia máxima associada a cada escala de decomposição considerando as três diferentes intensidades de acoplamento. Devido a quantidade de número de pontos convencionou-se utilizar a escala J=14 para as três intensidades de acoplamento a fim de calcular a fase. A Tabela 1 mostra a escala J que apresenta a máxima energia associada a cada sistema para cada intensidade de acoplamento. Analisando os valores de energia máxima e avaliando a resolução da série temporal obtida para a fase $(2^{23-J}$ pontos), decidiu-se adotar o valor de J=14 para os três casos.

A Figura 4 mostra a diferença de fase entre os sistemas de Lorenz considerando em (a) o método tradicional do cálculo da fase, (b) o método wavelet proposto e em (c) intensidade de acoplamento $\eta = 4.2$ considerando ambos os métodos. Nota-se que o método wavelet é capaz de identificar corretamente quando os sistemas não estão sincronizados em fase ($\eta = 0.4$), quando





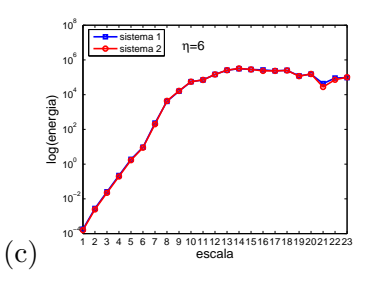


Figura 3: Energia máxima associada a cada escala de decomposição utilizando-se o método proposto para o cálculo da fase. No eixo x tem-se as escalas de decomposição e no eixo y a máxima energia associada encontrada na referida escala.

$\overline{\eta}$	no sistema 1	no sistema 2	número de pontos
$\eta = 0.4$	J=15	J=15	2^{8}
$\eta = 4.2$	J = 18	J = 18	2^5
$\eta = 6$	J = 14	J = 14	2^9

Tabela 1: Tabela constando a escala J que apresenta a máxima energia associada a cada sistema e para cada intensidade de acoplamento.

os sistemas apresentam regiões de sincronização de fase $(\eta = 4.2)$ e quando os sistemas estão sincronizados em fase $(\eta = 6)$.

4 Considerações Finais

Em relação ao enfoque convencional, que se utiliza de variáveis de estado ortogonais obtidas a partir da projeção do atrator sobre um plano de referência, o método wavelet se mostra coerente com este método convencional detectando em valores idênticos de fase quando os sistemas estão não sincronizados em fase ($\eta = 0.4$), quando apresentam regiões de sincronização de fase ($\eta = 4.2$) e quando estão sincronizados em fase ($\eta = 6$).

As principais vantagens no método wavelet proposto para o cálculo da fase é não ser necessário projetar o atrator sobre um novo plano (u, z), apenas considera-se uma variável de estado, por exemplo, a variável x, e a partir dela calcula-se a fase, pode-se utilizar séries longas, a simplicidade da metodologia e cálculo.

Referências

- [1] S. Boccaletti and J. Kurths and G. Osipov and D.L. Valladares and C.S. Zhou, The synchronization of chaotic systems. *Physics Report*, 366, (2002), 1-101.
- [2] M. T. Ferreira and R. Follmann and M. O. Domingues and E. E. N. Macau, "Transformada Wavelet Complexa Dual-Tree e a detecção da sincronização de fase entre sistemas com dinâmica caótica" (10^a Conferência Brasileira de Dinâmica, Controle e Aplicações DINCON) pp. 723-726, 2011.
- [3] R. Follmann and E. E. N. Macau and E. Rosa, Phase detection of chaos. *Physical Review E*, 83, (2011), 016209.
- [4] A. E. Hramov and A. A. Koronovskii, An approach to chaotic synchronization. *Chaos*, **14**, (2004), 603-610.
- [5] A. E. Hramov and A. A. Koronovskii and Y. Levin, Synchronization of chaotic oscillator time scales. *Journal of Experimental and Theoretical Physics*, **100**, (2005), 784-794.

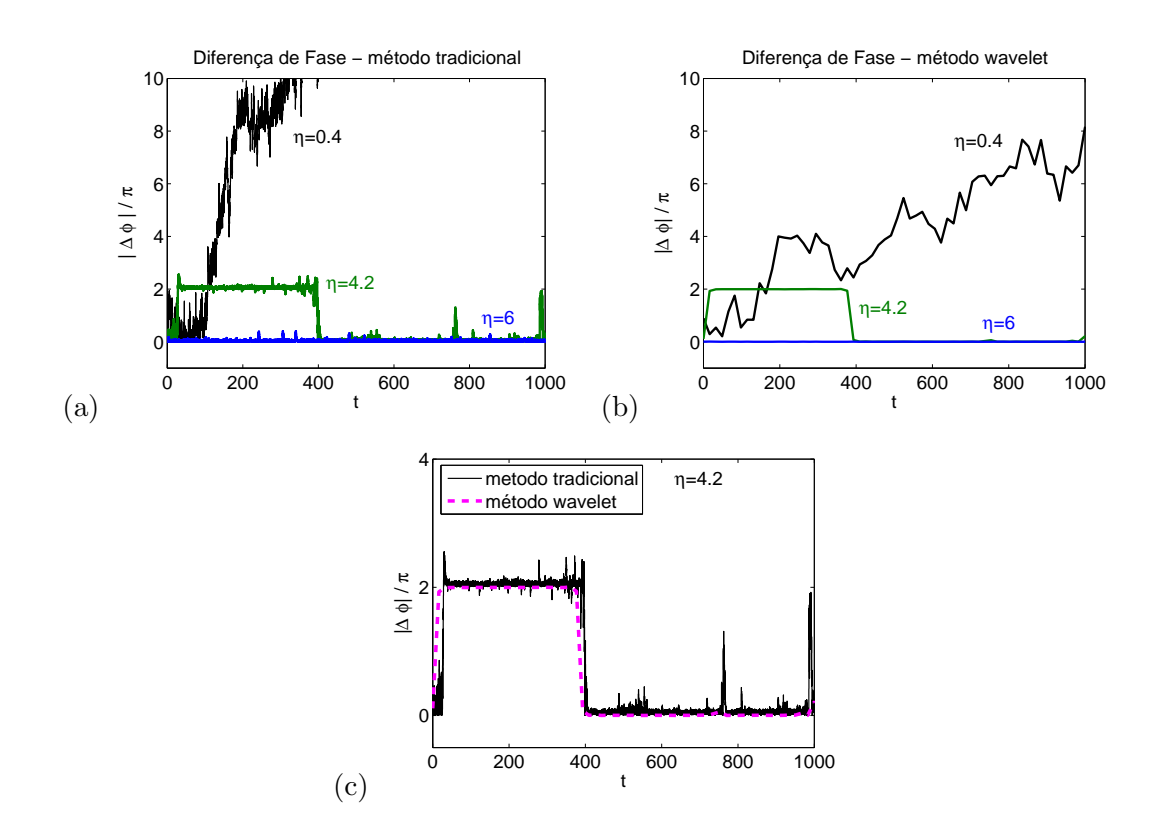


Figura 4: Diferença de fase entre os dois sistemas de Lorenz considerando a variável x em (a) o método tradicional do cálculo da fase, (b) o método wavelet proposto e em (c) intensidade de acoplamento $\eta = 4.2$ considerando ambos os métodos.

- [6] A. A. Koronovskii and A. Hramov, Chaotic phase synchronization studied by means of continuous wavelet transform. *Technical Physics Letters*, **30**, (2004), 587-590.
- [7] A. A. Koronovskii and M. Kurovskaya and A. Hramov, Relationship between phase synchronization of chaotic oscillators and time scale synchronization. *Technical Physics Letters*, **31**, (2005), 847-850.
- [8] J. Kurths and M. Romano and M. Thiel and G. Osipov and M. Ivanchenko and I. Kiss and J. Hudson, Synchronization Analysis of Coupled Noncoherent Oscillators. *Nonlinear Dynamics*, 44, (2006), 135-149.
- [9] S. G. Mallat, A theory for multiresolution signal decomposition: the wavelet representation. *IEEE Transactions on Pattern Analysis and Machine Intelligence*, **11**, (1989), 674-693.
- [10] L. M. Pecora and T. L. Carrol, Synchronization in chaotic systems. *Physical Review Letters*, 64, (1990), 821-824.
- [11] T. Pereira and M. S. Baptista and J. Kurths, General framework for phase synchronization through localized sets. *Physical Review E*, **75**, (2007), 026216.
- [12] A. S. Pikovsky and M. G. Rosenblum and J. Kurths, "Synchronization: A Universal Concept in Nonlinear Sciences", Cambridge University Press, 2003.
- [13] M. C. Romano and M. Thiel and J. Kurths and I. Z. Kiss and J. L. Hudson, Detection of synchronization for non-phase-coherent and non-stationary data. *Europhysics Letters*, **71**, (2005), 466-472.
- [14] I. W. Selesnick and R. G. Baraniuk and N. G. Kingsbury, The Dual-Tree Complex Wavelet Transform. *IEEE Signal Processing Magazine*, **22**, (2005), 123-151.